

$-\lambda_1/\lambda_2$ , где  $\lambda_1$  и  $\lambda_2$  соответствуют  $R_{p,s}=98\%$ . Как следует из рис. 1, только вблизи  $\varphi=\varphi_0$   $R_p$  зеркала  $B$  несколько больше  $R_p$  зеркала  $A$ . В согласии с [10] при  $\varphi=\varphi_0$  величины  $\Theta_{p,s}$  зеркала  $B$  больше, чем у зеркала  $A$ . Как и следовало ожидать, с уменьшением  $\varphi$  это различие уменьшается и при малых углах изменяет знак.

На рис. 2, а приведены зависимости  $\delta_{p,s}(\lambda_0/\lambda)$  для зеркала  $A$ , а на рис. 2, б — для зеркала  $B$ , снятые при  $\varphi=0, 30$  и  $45^\circ$ . На рис. 2, в начертены зависимости  $\Delta(\lambda_0/\lambda)$  для тех же зеркал, полученные при  $\varphi=30$  и  $45^\circ$ . Если абстрагироваться от ряда специфических особенностей, и в данном случае соответствующие кривые одного и второго зеркала имеют много общего. При увеличении угла падения света  $\varphi$  на зеркало  $A$  область высокого отражения смещается в коротковолновую часть спектра, что влечет за собой соответствующее смещение кривых  $\delta_p(\lambda_0/\lambda)$  и  $\delta_s(\lambda_0/\lambda)$  и увеличение различия между ними. Зеркало  $B$  предназначено для работы при  $\varphi=\varphi_0$ . Но увеличение  $\varphi$  от  $\varphi=0$  до  $\varphi \geq \varphi_0$  приводит к таким же результатам.

Однако у зеркала  $B$  при  $\lambda=\lambda_0 \Delta=0$ , в то время как у зеркала  $A \Delta \neq 0$  ни при  $\lambda$ , соответствующей  $R_{\max}$ , ни тем более при  $\lambda=\lambda_0$ . Но и у зеркала  $A$  существует такая  $\lambda$ , при которой  $\Delta=0$ .

Приведенные на рис. 2, в кривые для зеркала  $A$  позволяют найти зависимость  $\Delta(\varphi)$  при  $\lambda=\lambda_0$ . Для семислойников наши результаты очень хорошо согласуются с данными [2].

Увеличение числа слоев приводит к тривиальным изменениям оптических свойств как тех, так и других зеркал, описанные же здесь подобия и различия при этом сохраняются.

Таким образом, зеркала типа  $A$  с успехом могут быть использованы в качестве отражателей и при наклонном падении света. Однако в тех случаях, когда отраженные от зеркал лучи интерферируют друг с другом, особенности кривых рис. 2 должны быть приняты во внимание.

### Литература

- [1] Б. Б. Сухановский. ДАН СССР, 106, 226, 1956.
- [2] Б. Б. Сухановский. Опт. и спектр., 3, 90, 1957.
- [3] Б. Б. Сухановский. Опт. и спектр., 3, 382, 1957.
- [4] Б. В. Рыбаков, С. С. Скулаченко, Р. Ф. Чумичев, И. И. Юдин. Опт. и спектр., 25, 572, 1968.
- [5] И. Н. Шкляревский, Р. И. Умеров, Е. А. Лупашко, В. И. Храмцова. Опт. и спектр., 33, 986, 1972.
- [6] И. Н. Шкляревский, Р. И. Умеров, Е. А. Лупашко, И. И. Калиманова. Ж. прикл. спектр., 12, 1092, 1970.
- [7] И. Н. Шкляревский, Е. А. Лупашко. Опт. и спектр., 21, 482, 1966.
- [8] И. Н. Шкляревский, Е. А. Лупашко, Н. А. Носуленко. Ж. прикл. спектр., 10, 634, 1969.
- [9] И. Н. Шкляревский, Н. А. Власенко, В. К. Милославский, Н. А. Носуленко. Опт. и спектр., 9, 640, 1960.
- [10] Й. Й. Вега. Optica Acta, 11, 315, 1964.

Поступило в Редакцию 20 декабря 1973 г.

УДК 539.184.27

## ИЗМЕНЕНИЕ ОПТИЧЕСКИХ СВОЙСТВ АТОМОВ В ДЕБАЕВСКОМ ПОЛЕ

А. Р. Чижюнас, П. О. Богданович и А. Ю. Савукинас

Для учета воздействия квазиидеальной плазмы на атомные электроны используется статический экранированный кулоновский потенциал Дебая—Хюкеля

$$V(r) = -\frac{Z}{r} e^{-r/D}, \quad D = \left( \frac{4\pi}{kT} \sum_i \rho_i Z_i^2 \right)^{-1/2} \quad (1)$$

(в атомной системе единиц). Здесь  $D$  является радиусом Дебая,  $\rho_i$  — плотность частиц с зарядом  $Z_i e$ . Зависимость собственных значений энергии водородоподобных атомов от радиуса Дебая рассмотрена в ряде работ. Радиальное уравнение Шредингера с указанным потенциалом решается как с применением вариационных методов и теории возмущений [1], так и численным путем [2, 3]. В [3] получены собственные значения энергии для многих состояний атома водорода и водородоподобных ионов от  $nl=1s$ ,

$2s, 2p, \dots$  вплоть до состояний с  $n=10$ . В данной работе приводятся результаты теоретического рассмотрения тонкой структуры уровней энергии и сил линий электрических мультипольных переходов в дебаевском поле. С этой целью рассмотрена зависимость радиальных интегралов  $\langle r^k \rangle$  от радиуса Дебая.

Радиальные орбитали определяем численным решением уравнения Шредингера с потенциалом Дебая (1) при значениях  $D=0 \div \infty$ . Для этого используем с небольшими изменениями программу расчета исходных радиальных орбиталей из программы численного решения уравнений Хартри—Фока [4]. Полученные собственные значения энергии совпадают с наиболее точными значениями, найденными в работе [3]. При конечных  $D$  квантовое число  $n$  в общем случае не является целым. Однако для обозначения состояний используем значения  $n$  соответствующих состояний свободного атома, получаемых при  $D \rightarrow \infty$ .

При увеличении экранирования (уменьшении  $D$ ) радиальные орбитали сдвигаются в область больших  $r$ . Поэтому при уменьшении  $D$  радиальные интегралы  $\langle nl|r^k|nl\rangle$  с положительными степенями  $k$  увеличиваются, а с отрицательными  $k$  — уменьшаются. На рис. 1 изображена зависимость радиальных интегралов спин-орбитального взаимо-

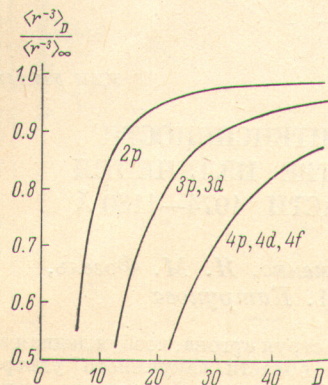


Рис. 1.

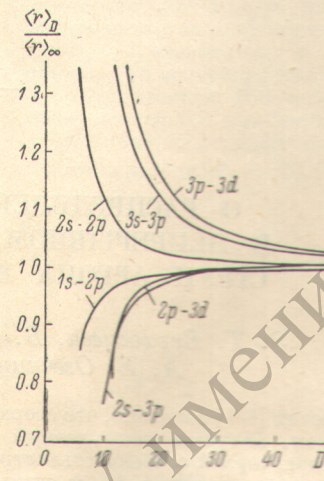


Рис. 2.

действия  $\langle nl|r^{-3}|nl\rangle$ , определяющих величину тонкого расщепления уровней энергии, от радиуса Дебая для низших состояний атома водорода. При этом значения радиальных интегралов  $\langle r^{-3} \rangle_D$  отложены в отношении к соответствующим радиальным интегралам свободного атома ( $D=\infty$ ). Рис. 1 показывает уменьшение тонкого расщепления уровней энергии при уменьшении радиуса Дебая. Указанное отношение мало зависит от орбитального квантового числа и кривые с разными  $l$  при одинаковых  $n$  на рис. 1 не различаются. Подобная зависимость имеет место и для радиальных интегралов с другими  $k < 0$ .

На рис. 2 таким же образом изображено изменение радиальных интегралов электрического дипольного перехода  $\langle nl|r|n'l'\rangle$  для атома водорода в зависимости от радиуса Дебая. Радиальные интегралы переходов с  $n=n'$ , как и радиальные интегралы средних значений  $r$ , возрастают при уменьшении  $D$ . Это дает увеличение сил линий этих переходов (силы линий пропорциональны квадрату радиального интеграла перехода). Как показано на рис. 2, радиальные интегралы переходов с  $n \neq n'$ , наоборот, убывают при уменьшении  $D$ . Это происходит из-за уменьшения перекрытия радиальных орбиталей вследствие большого сдвига орбиталей более возбужденных состояний. Таким образом, расчет показывает существенное различие поведения сил линий переходов с  $n=n'$  и переходов с  $n \neq n'$  в дебаевском поле. Этот факт может оказаться интересным для спектроскопии плазмы в области применимости потенциала Дебая. Такое различие получается также и для высших мультипольных переходов в дебаевском поле. При этом магнитные переходы, не имеющие радиальной зависимости, не изменяются.

Отметим, что модель сжатых атомов с граничным условием для радиальных орбиталей  $R(r_0)=0$  и условие Вигнера—Зейтца  $R'(r_0)=0$  также дают различную зависимость сил линий электрических мультипольных переходов с  $n=n'$  и переходов с  $n \neq n'$  от граничного радиуса  $r_0$  [5]. Для условия Вигнера—Зейтца (металлическая модель) при больших  $r_0$  получаем уменьшение тонкого расщепления уровней энергии, а также увеличение сил линий с  $n=n'$  и уменьшение сил линий с  $n \neq n'$ , как и для потенциала Дебая. Однако при дальнейшем уменьшении  $D$  при приближении к границе ионизации как для первого, так и для второго из указанных условий изменение величины тонкого расщепления и сил линий переходов с  $n=n'$  является противоположным, чем в случае потенциала Дебая [5, 6]. В то время силы линий переходов с  $n \neq n'$  уменьшаются в этой области как для потенциала Дебая, так и в модели сжатых атомов с вышеуказанными граничными условиями.

Интересной является возможность использования статистического потенциала Гашпара [7] для электронов тяжелых атомов в плазме вместо кулоновского потенциала

$Z/r$  с (1) в применением программы [4]. Результаты такого рассмотрения будут опубликованы в «Литовском физическом сборнике». Часть результатов данной работы сообщалась на Всесоюзном семинаре теории атомов и атомных спектров (Рига, 1973 г.).

### Литература

- [1] G. M. Haggis. Phys. Rev., 125, 1131, 1962.
- [2] В. Л. Бонч-Бруевич, В. Б. Гласко. Опт. и спектр., 14, 495, 1963.
- [3] F. J. Rogers, H. C. Graboske, D. J. Harwood. Phys. Rev., A, 1, 1577, 1970.
- [4] П. О. Богданович, Р. И. Каразия. Государственный фонд алгоритмов и программ, № П 000083, 1970.
- [5] А. Р. Чижюнас, А. Ю. Савукинас. Лит. физ. сб., 14, 5, 1974.
- [6] А. Ю. Савукинас, А. Р. Чижюнас. Лит. физ. сб., 14, 99, 1974.
- [7] R. Gáspár. Acta Phys. Hung., 3, 263, 1964.

Поступило в Редакцию 3 января 1974 г.

УДК 535.237 : 546.293

## О РАСПРЕДЕЛЕНИИ ИНТЕНСИВНОСТИ В НЕПРЕРЫВНОМ СПЕКТРЕ ИЗЛУЧЕНИЯ СТРУИ АРГОНА В ОБЛАСТИ 1074—1130 Å

Э. Т. Верховцева, В. И. Ярёменко, Я. М. Фогель,  
А. Е. Овечкин и Е. А. Катрунова

В работах [1, 2] показано, что сверхзвуковая струя аргона, возбужденная электронным пучком, излучает непрерывный спектр в области вакуумного ультрафиолета (ВУФ). Характерной особенностью струи аргона, вытекающей в вакуум, является наличие в ней двухатомных  $\text{Ar}_2$  и полимерных  $\text{Ar}_n$  молекул, образованных в процессе адиабатического расширения газа при выходе из сопла [3, 4]. При определенных режимах истечения в струе могут присутствовать также жидкие капли и частицы твердого аргона [5]. В связи с этим образование молекул  $\text{Ar}_2^*$  в состояниях  ${}^1\Sigma_u^+(O_u^+)$  и  ${}^3\Sigma_u^+(1u)$ , переход из которых в состояние  ${}^1\Sigma_g^+(O_g^+)$  приводит к излучению непрерывного спектра в области ВУФ [6, 7], может происходить в струе в следующих процессах: 1)  $\text{Ar}_2 + e \rightarrow \text{Ar}_2^* + e$ , 2)  $\text{Ar}_n + e \rightarrow \text{Ar}_2^* + \text{Ar}_{n-2} + e$ , 3) при локализации энергии электронного возбуждения в многоатомных молекулах  $\text{Ar}_n$ , жидких каплях и частицах твердого аргона [8].<sup>1</sup> Помимо этого молекулы  $\text{Ar}_2^*({}^1\Sigma_u^+, {}^3\Sigma_u^+)$  могут возникать в результате двойных и тройных столкновений возбужденных атомов  $\text{Ar}$  ( ${}^3P_1, {}^3P_2$ ) с невозбужденными. Относительный вклад перечисленных процессов в интенсивность непрерывного спектра ВУФ излучения струи аргона изучен в работе [9]. В настоящем сообщении изложены результаты по влиянию излучения молекул  $\text{Ar}_2^*$ , образованных в процессах 1)—3), на распределение интенсивности в непрерывном спектре 1074—1130 Å. С этой целью исследовалось изменение распределения интенсивности в спектре от температуры газа на входе в сопло  $T_0$  при его постоянном давлении  $P_0$ . Описание аппарата и методики эксперимента содержится в работе [9].

На рис. 1 представлены записи непрерывного спектра в области 1074—1130 Å, полученные при  $P_0=1$  атм. и изменениях  $T_0$  от 215 до 500° К.<sup>2</sup> При  $T_0=215$  и 245° К в спектре наблюдается два максимума излучения — 1075 и 1090 Å. С повышением температуры непрерывный спектр с максимумом 1090 Å ослабевает. При этих условиях распределение интенсивности в исследуемом интервале длин волн характеризуется только одним максимумом 1075 Å, начиная с которого интенсивность излучения, осциллируя, уменьшается.

Для выяснения причины перераспределения интенсивности в спектре 1074—1130 Å при изменении температуры  $T_0$  обратимся к рис. 2, на котором приведены кривые зависимости  $I/\rho(T_0)^3$  для максимума непрерывного спектра 1270 Å и резонансной

<sup>1</sup> В принципе молекулы  $\text{Ar}_2^*$  могут возникать в процессах с участием молекулярных ионов и электронов, но в случае ионизации струи быстрыми электронами (энергия электронов  $\sim 1$  кэВ) эти процессы будут иметь малые скорости.

<sup>2</sup> По расчетным данным давление и температура аргона в месте возбуждения струи при указанных их значениях на входе в сопло должны иметь 0.1 мм рт. ст. и  $(6 \div 14.5)$ ° К.

<sup>3</sup>  $I$  — интенсивность излучения;  $\rho$  — концентрация частиц в месте пересечения струи электронным пучком.